

This airborne geophysical survey and the production of this map were funded by the Saskatchewan Ministry of Energy and Resources and the GEM-Energie Program of the Earth Sciences Sector, Natural Resources Canada.

Ce levé géophysique aéroporté et la production de cette carte ont été financés par le ministère de l'Énergie et des Ressources de la Saskatchewan et le programme GEM-Energie du Secteur des sciences de la Terre, Ressources naturelles Canada.

GSC OPEN FILE 6812 / DOSSIER PUBLIC 6812 DE LA CGC SMER OPEN FILE 2011-47

GEOPHYSICAL SERIES / SÉRIE DES CARTES GÉOPHYSIQUES

AIRBORNE GEOPHYSICAL SURVEY OF THE NORTHWESTERN ATHABASCA BASIN, SASKATCHEWAN

LEVÉ GÉOPHYSIQUE AÉROPORTÉ DE LA PARTIE NORD-OUEST DU BASIN ATHABASCA, SASKATCHEWAN

NTS 74 O/05 Isle Brochet / SNRC 74 O/05 Isle Brochet

URANIUM / THORIUM

Authors: Fortin, R., Coyle, M., Buckle, J.,
Hefford, S.W. and Delaney, G.

Data acquisition, compilation and map production by Goldak Airborne
Surveys Ltd., Saskatoon, Saskatchewan. Contract and project management
by the Geological Survey of Canada, Ottawa, Ontario.

Scale 1:50 000 - Échelle 1/50 000

mètres 1000 0 1000 2000 3000 mètres

NA289 / UTM zone 13N

Universal Transverse Mercator Projection
North America Datum 1983
© Her Majesty the Queen in Right of Canada 2011

Digital topographic data provided by Geomatics Canada, Natural Resources Canada
Données topographiques numériques de Geomatics Canada, Ressources naturelles Canada

Auteurs : Fortin, R., Coyle, M., Buckle, J.,
Hefford, S.W. et Delaney, G.

L'acquisition, la compilation et la production de la carte sont la responsabilité
des firmes Goldak, Goldak Airborne Surveys Ltd., Saskatoon,
Saskatchewan. La gestion et la supervision du projet furent effectuées
par la Commission géologique du Canada, Ottawa, Ontario.



NORTHWESTERN ATHABASCA BASIN GEOPHYSICAL SURVEY, SASKATCHEWAN

Introduction

A quantitative gamma-ray spectrometric and aeromagnetic airborne geophysical survey of the Northwestern Athabasca Basin, Saskatchewan, was completed by Goldak Airborne Surveys. The survey took place from June 24th to September 21st, 2010 using two Piper PA-31 Navajo aircraft (C-GJBA, C-GJBK) and one Cessna Caravan (C-GLDX). The nominal control and traverse lines were, respectively, 400 m and 2400 m, and the aircraft flew at a nominal terrain clearance of 125 m at an airspeed between 200 and 270 km/h. Traverse lines were oriented 135° with orthogonal control lines. The flight path was recorded following a series of different corrections to raw data recorded by a Global Positioning System.

Gamma-ray Spectrometric Data

The airborne gamma-ray measurements were made with a Radiation Solutions RS-500 gamma-ray spectrometer using fourteen 102x102x6 mm NaI (Tl) crystals. The main detector array consisted of twelve crystals (total volume 50.4 litres), shielded by the main array, were used to detect variations in background radiation caused by atmospheric radon. The system constantly monitored the natural thorium peak for each crystal and used a Gaussian least squares algorithm to adjust the gain for each crystal.

Probes were inserted directly from the 1460 keV gamma-ray photons emitted by K^{40} , whereas uranium and thorium are measured indirectly from gamma-ray photons emitted by their parents; thus gamma-ray spectrometric measurements of uranium and thorium are referred as equivalent uranium and equivalent thorium, i.e. eU and eTh. The energy windows used to measure potassium, uranium and thorium are, respectively, 1370-1570 keV, 1660-1860 keV, and 2410-2810 keV.

Gamma-ray spectra were recorded at one-second intervals. Data processing followed standard procedures as described in IAEA, 1991 and IAEA, 2003. During processing, the spectra were energy integrated, and counts were converted to the window described above. Corrections from the radon deficit, 1860 keV window and the energy windows for potassium, uranium and thorium were applied. The background activity was corrected for time, background activity and variation of temperature and pressure were made prior to conversion to ground concentrations of potassium, uranium and thorium, using factors determined by the International Atomic Energy Agency. The factors for potassium, uranium, and thorium are listed in Table 1.

Table 1 Gamma Ray Spectrometer Sensitivities for each craft

Corrected data were filtered and interpolated to a 100 m grid interval. The results of an airborne gamma-ray spectrometer survey represent the average surface concentrations that are influenced by varying amounts of outcrop, overburden, vegetation cover, soil moisture and surface water. As a result the measured concentrations are usually lower than the actual bedrock concentrations. The total absorbed dose rate in nanograys per hour was produced from measured counts between 400 and 2810 keV.

Magnetic Data

The magnetic field was sampled 10 times per second using a split-beam cesium vapour magnetometer (sensitivity = 0.005 nT) rigidly mounted to the aircraft. Differences in magnetic values at the intersections of control and traverse lines were computer-analyzed to obtain a mutually levelling set of flight-line magnetic data. The levelled values were then interpolated to a 100 m grid. The International Geomagnetic Reference Field (IGRF) defined at the average GPS altitude of 510 m for the year 2010.61 was then removed. Removal of the IGRF, representing the magnetic field of the Earth's core, produces a residual component related essentially to magnetizations within the Earth's crust.

The first vertical derivative of the magnetic field is the rate of change of the magnetic field in the vertical direction. Computation of the first vertical derivative removes long wavelength features of the magnetic field and significantly improves the resolution of closer spaced and superposed anomalies. A property of first vertical derivative maps is the coincidence of the zero-value contours with vertical contacts of magnetic units at high magnetic latitudes (Hood, 1965).

LEVÉ GÉOPHYSIQUE DE LA PARTIE NORD-OUEST DU BASIN ATHABASCA, SASKATCHEWAN

Introduction

Un levé géophysique aéroporté combinant l'acquisition de données de spectrométrie gamma et de données magnétiques a été réalisé dans la partie nord-ouest du bassin de l'Athabasca en Saskatchewan par la société Goldak Airborne Surveys. Le levé a été effectué du 24 juin au 21 septembre 2010, à bord de deux avions Piper PA-31 Navajo (C-GJBA, C-GJBK) et d'un Cessna Caravan (C-GLDX). L'éspacement nominal des lignes de vol était de 400 m et celui des lignes de contrôle de 2400 m. L'altitude nominale de l'avion était de 125 m et il a été renommé à 100 m pour les lignes de contrôles et de 2400 m pour les lignes de tracé. Les lignes de vol étaient toutes perpendiculaires. La réjection de vol a été effectuée par l'application après le vol de corrections différentielles aux données brutes enregistrées avec un récepteur GPS.

Données de spectrométrie gamma

Les mesures du rayonnement gamma ont été effectuées à l'aide d'un spectromètre gamma Radiation Solutions RS-500 utilisant quartz-cristal de NaI (Tl) de 102x102x6 mm. Les cristaux (volume total de 50.4 litres), protégés par le réseau principal, ont été utilisés pour déceler les variations du rayonnement naturel causées par le radon atmosphérique. Le dispositif permettait de faire un suivi constant des pics de thorium pour chacun des cristaux et, au moyen d'un algorithme d'ajustement continu, de compenser le gain pour chacun des cristaux.

Le potassium est mesuré directement d'après les photons gamma de 1 460 keV émis par le K^{40} , tandis que l'uranium et le thorium sont mesurés indirectement par les photons émis par leurs parents (le thorium). Bien que les radénécèlles soient sensibles à tous les éléments radioactifs, les corrections de désintégration par des produits de radon sont effectuées pour le thorium. Ces corrections sont effectuées pour tenir compte de la diffusion spectrale dans le sol, l'air et les capteurs. Les corrections de désintégration pour les éléments qui sont également source de rayonnement gamma de l'uranium et du thorium sont désignées comme des équivalents d'uranium et de thorium de 1860 et 2410 keV. Les plages de fréquence utilisées pour mesurer le potassium, l'uranium et le thorium sont respectivement de 1 370 à 1 570 keV, de 1 660 à 1 860 keV et de 2 410 à 2 810 keV. Le débit total de la dose absorbée par l'air, en néançayes, a été déterminé à coup par coup mesuré dans la plage de 400 à 2 810 keV.

Les spectres du rayonnement gamma ont été enregistrés à intervalle d'une seconde. Le traitement des données a suivi les procédures standards décrites dans IAEA, 1991 et IAEA, 2003. Pendant le traitement, les données ont été analysées à l'aide d'un ensemble de données sur le champ magnétique de radon qui a été enregistré dans la plage de 1 660 à 1 860 keV et le rayonnement des éléments radioactifs à 1 370 keV. Les corrections de désintégration par des produits de radon sont effectuées pour le thorium. Ces corrections sont effectuées pour tenir compte du temps d'instrument, du rayonnement cosmique, de la radioactivité de l'avion et des produits de désintégration du radon atmosphérique. Les données ont ensuite été corrigées pour tenir compte de la diffusion spectrale dans le sol, l'air et les capteurs. Les corrections de désintégration pour les éléments qui sont également source de rayonnement gamma de l'uranium et du thorium sont effectuées pour tenir compte de la diffusion spectrale dans le sol, l'air et les capteurs. Les corrections de désintégration pour les éléments qui sont également source de rayonnement gamma de l'uranium et du thorium sont effectuées pour tenir compte de la diffusion spectrale dans le sol, l'air et les capteurs.

Données sur le champ magnétique

Le champ magnétique a été échantillonné 10 fois par seconde à l'aide d'un magnétomètre à vapeur de cézium à faisceau partagé (sensibilité = 0.005 nT) rigidelement fixé à l'avion. Les différences de valeur du champ magnétique aux intersections des lignes de contrôle et des lignes de levé ont été analysées afin d'obtenir un ensemble de données sur le champ magnétique de radon qui a été enregistré dans la plage de 1 660 à 1 860 keV et le rayonnement des éléments radioactifs à 1 370 keV. Les corrections de désintégration par des produits de radon sont effectuées pour le thorium. Ces corrections sont effectuées pour tenir compte du temps d'instrument, du rayonnement cosmique, de la radioactivité de l'avion et des produits de désintégration du radon atmosphérique. Les données ont ensuite été corrigées pour tenir compte de la diffusion spectrale dans le sol, l'air et les capteurs.

La dérivée première verticale du champ magnétique représente le taux auquel varie le champ magnétique suivant la verticale. Le calcul de la dérivée première verticale supprime les composantes de grande longueur d'onde du champ magnétique et améliore considérablement la résolution des anomalies rapprochées les unes des autres ou superposées. L'une des propriétés des cartes de la dérivée première verticale est la coïncidence de l'isograde de valeur zéro et des contacts verticaux aux hautes latitudes magnétiques (Hood, 1965).

References / Réferences

Hood, P.J. 1965. Gradient measurements in aeromagnetic surveying. *Geophysics*, v.30, p.891-902.

International Atomic Energy Agency, 1991. Airborne gamma ray spectrometer surveying. Technical Reports Series 323, IAEA, Vienna.

International Atomic Energy Agency, 2003. Guide lines for radiometric mapping using gamma ray spectrometry data. Technical Reports Series 1363, IAEA, Vienna.

PLANIMETRIC SYMBOLS / SYMBOLES PLANIMÉTRIQUES

Drainage Drainage
Highway Autoroute
Flight line 1158 > 1248 Ligne de vol

MAP SHEET SUMMARY / SOMMAIRE DES FEUILLES

Sheet Feuillet MAP / CARTE

1. Natural Air Absorbed Dose Rate
Taux d'absorption naturel des rayons gamma dans l'air

2. Potassium

3. Uranium

4. Thorium

5. Uranium / Potassium

6. Uranium / Thorium

7. Thorium / Potassium

8. Temp Radiometric Map
Diagramme température des radiomètres

9. Total Magnetic Field
Diagramme total du champ magnétique

10. First Vertical Derivative of the Magnetic Field
Dérivée première verticale du champ magnétique

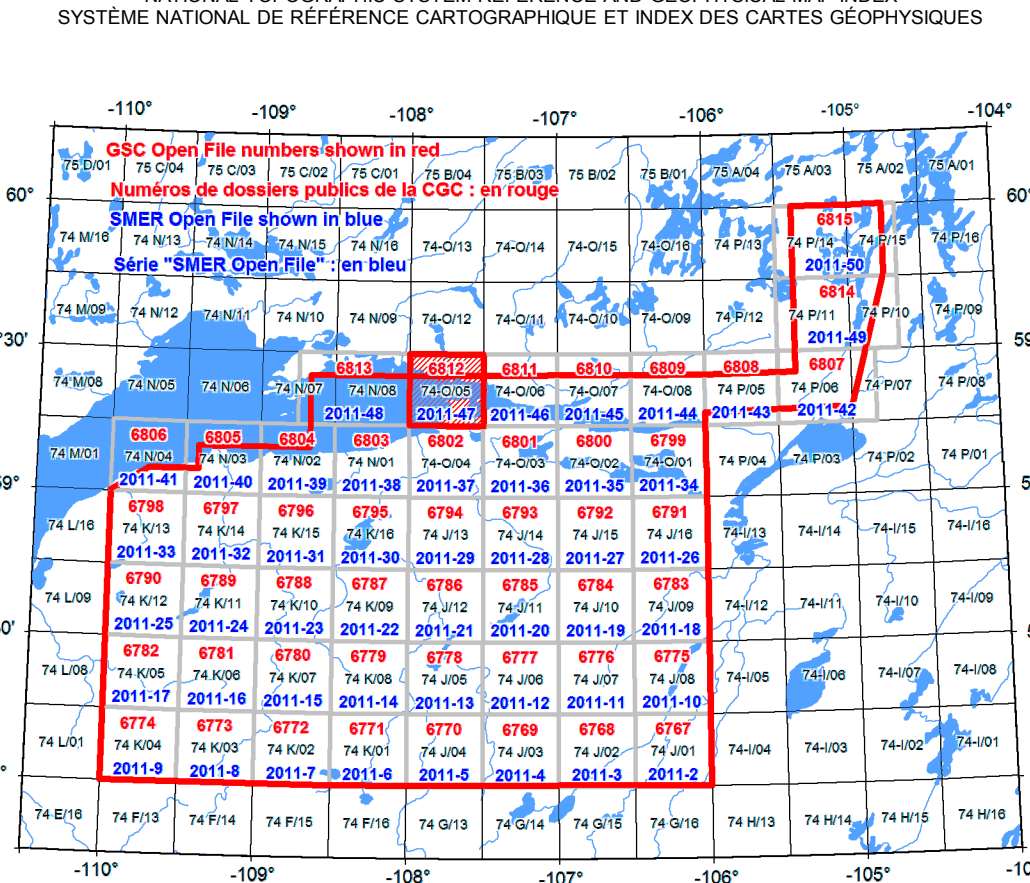
OPEN FILE 2011-47

SASKATCHEWAN MINISTRY OF RESOURCES

2011

FEUILLET 5 DE 10
FEUILLET 5 DE 10

NATIONAL TOPOGRAPHIC SYSTEM REFERENCE AND GEOPHYSICAL MAP INDEX SYSTÈME NATIONAL DE RÉFÉRENCE CARTOGRAPHIQUE ET INDEX DES CARTES GÉOPHYSIQUES



AIRBORNE GEOPHYSICAL SURVEY OF THE NORTHWESTERN ATHABASCA BASIN, SASKATCHEWAN

LEVÉ GÉOPHYSIQUE AÉROPORTÉ DE LA PARTIE NORD-OUEST DU BASIN ATHABASCA, SASKATCHEWAN

Recommended citation:
Fortin, R., Coyle, M., Buckle, J., Hefford, S. and Delaney, G., 2011.

Airborne Geophysical Survey of the Northwestern Athabasca Basin, Saskatchewan, NTS 74 O/05, Isle Brochet, Geological Survey of Canada, Open File 6812, Saskatchewan Ministry of Energy and Resources (SMER), Open File 2011-47; scale 1:50 000.

Notation bibliographique:
Fortin, R., Coyle, M., Buckle, J., Hefford, S. and Delaney, G., 2011.
Série des cartes géophysiques
Levé géophysique aéroporté de la partie nord-ouest du bassin Athabasca, Saskatchewan, NTS 74 O/05, Isle Brochet, Geological Survey of Canada, Open File 6812, Saskatchewan Ministry of Energy and Resources (SMER), Open File 2011-47; échelle 1:50 000.

